

کاهش بعد داده‌های تصاویر تشحیید مغناطیسی مغز با استفاده از شبکه عصبی آموزش یافته توسط الگوریتم زنی

آرش محمدی

فارغ التحصیل کارشناسی ارشد رشته مهندسی پزشکی - بیوالکتریک.

حمید سلطانیان زاده

دانشیار گروه مهندسی برق و کامپیوتر - دانشکده فنی - دانشگاه تهران.

(تاریخ دریافت ۸۰/۹/۲۷ ، تاریخ تصویب ۸۲/۷/۱۲)

چکیده

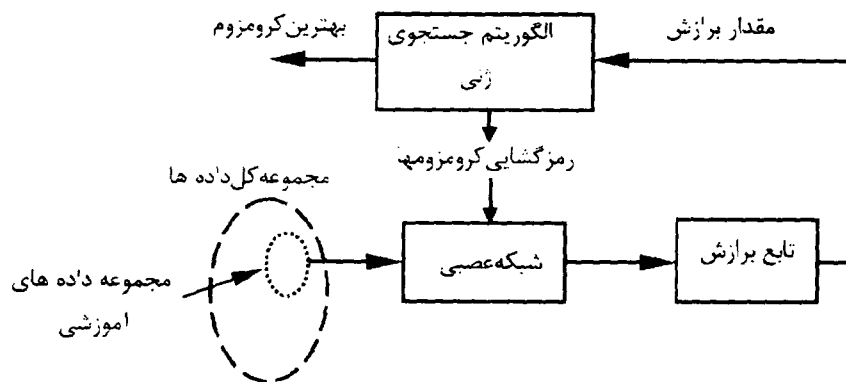
در این مقاله روشی برای کاهش بعد فضای ویژگی تصاویر تشحیید مغناطیسی مغز به سه بعد جهت ایجاد امکان تجسم توزیع داده‌ها در فضا و بخشندی تصاویر پیشنهاد می‌شود. از شبکه عصبی پیشخورد برای تولید ویژگی‌های جدید استفاده می‌شود. پارامترهای شبکه عصبی توسط الگوریتم زنی بگونه‌ای تعیین می‌شوند که داده‌های تبدیل یافته در خروجی شبکه عصبی تابع هدف معینی را بهینه نمایند. سه تابع هدف معروفی می‌شوند که بر مبنای تابع خطای سامون عمل می‌کنند و در دو تا از آنها محدودیتی به این معیار خطای اضافه شده است. داده‌های فضای ویژگی سه بعدی بدست آمده را می‌توان از طریق ترسیم تصویر پرسیکتیو هیستوگرام سه بعدی مجسم نمود و با تعیین حدود مرز خوش‌های داده در این تصویر، تصاویر تشحیید مغناطیسی را بخشندی کرد. نتایج بدست آمده از روش‌های پیشنهادی با نتایج روش‌های تبدیل خطی و تبدیل شبکه عصبی پس انتشار خطای (BPNN) مقایسه می‌شوند. دو روش پیشنهادی که از توابع هدف پیشنهادی اول و دوم استفاده می‌کنند، برای یک سری تصویر MR شبیه سازی شده نتیجه‌ای بمراتب بهتر از سایر روش‌ها را از نظر ایجاد خوش‌های متمایز از هم ارایه می‌دهند. همچنین به لحاظ تفکیک بافت‌های غیر عادی در ۱۰ سری تصویر MR واقعی، نتایج حاصل از این دو روش بخشندی با خطای کمتری نسبت به روش‌های قبلی در اختیار قرار می‌دهند.

واژه‌های کلیدی: کاهش بعد، استخراج ویژگی، بخش بندی، تصاویر MRI، شبکه عصبی، الگوریتم زنی

مقدمه

تشکیل دهنده در نمایش فضای ویژگی، انتهای بردارهای پیکسلی مربوط به یک بافت در مجاورت یکدیگر تجمع می‌یابند و مجموعه این نقاط خوش‌های را در فضا تشکیل می‌دهند. با توجه به تفاوت روش‌نایابی بافت‌های متفاوت، خوش‌های بافت‌های مختلف در نقاط متفاوتی از فضا قرار خواهند گرفت. بنابراین با مشاهده و تجسم این فضای ویژگی می‌توان با ترسیم مرزی حول هر خوش و در نظر گرفتن پیکسلهای داخل مرز بعنوان یک ناحیه، تصاویر MR را بخشندی نمود. برای بخشندی به این شیوه لازم است فضای فوق قابل تجسم باشد. لزوم قابلیت تجسم فضای ویژگی محدودیتی برای تعداد بعدهای این فضا وضع می‌کند به این معنی که ابعاد چنین فضایی می‌باید به سه بعد و یا کمتر محدود شود. از آنجا که تعداد تصاویر MR تهیه شده از یک سطح مقطع مغز معمولاً از سه

هدف نهایی تحلیل تصاویر پزشکی استخراج اطلاعات کلینیکی مهمی است که در امر تشخیص و درمان بیماری بسیار موثرند. در تصویر برداری تشحیید مغناطیسی (MRI) از مغز انسان، از هر سطح مقطع مغز چند تصویر متفاوت تهیه می‌شود. سری تصاویر MR موقعیت مکانی بافت‌ها متفاوت را با کنترast متفاوتی در هر تصویر نمایش می‌دهند که این تصاویر را می‌توان نمایش "حوزه مکان" بافت‌ها در نظر گرفت. می‌توان نمایش دیگری از بافت‌ها بنام نمایش "فضای الکوها" یا "فضای ویژگی" نیز تولید نمود. برای یک سری تصاویر تشحیید مغناطیسی مغز که شامل n تصویر باشد نمایش فضای ویژگی را می‌توان با تولید یک "بردار پیکسلی" n بعدی برای هر پیکسل از تصویر ایجاد کرد که سطوح خاکستری آن پیکسل در تصاویر مختلف مولفه‌های بردار پیکسلی را



شکل ۱ : نمای بلوکی از مراحل عملیاتی روش پیشنهادی.

روشهای شبیه خطی و غیر خطی مرتبه دوم از طریق محاسبه معکوس ماتریس‌های تعیین می‌شود که تضمینی برای نامنفرد بودن آنها وجود ندارد.

در این مقاله رهیافتی جدید برای کاهش بعد تصاویر MR با هدف ایجاد امکان تجسم داده‌های این تصاویر مطرح می‌شود که میزان از دست رفتن اطلاعات تشخیصی بافتها در اثر کاهش بعد حداقل گردد. این رهیافت از قابلیت تقریب توابع توسط شبکه‌های عصبی پیشخورد برای اجرای تبدیلی غیر خطی به فضای سه بعدی بهره می‌گیرد. جهت تنظیم پارامترهای شبکه عصبی از الگوریتم زئی استفاده می‌شود. پارامترها بگونه‌ای تنظیم می‌شوند که داده‌های تبدیل یافته توسط شبکه تابع هدف معینی را بهینه نمایند. سه تابع هدف نیز معرفی می‌شوند که از معیاری بدون نظرارت استفاده می‌کنند.

روش پیشنهادی

شکل (۱) مراحل عملیاتی روش پیشنهادی را نمایش می‌دهد. مشاهده می‌شود که ابتدا از بین نقاط داده موجود، زیر مجموعه‌ای از طریق نمونه برداری اختیار می‌گردد. این داده‌های انتخابی از مجموعه داده‌های آموزشی می‌نامیم که برای آموزش شبکه عصبی و تنظیم وزنهای آن بکار می‌روند. برای آموزش شبکه عصبی از الگوریتم زئی استفاده می‌شود. عملیات آموزش شبکه عصبی با انتخاب مجموعه‌ای از مقادیر اولیه برای شبکه عصبی آغاز می‌گردد. مجموعه داده‌های آموزشی توسط شبکه عصبی به فضای جدید نگاشت می‌شوند. در فضای

بیشتر است، لازم است از تعداد ابعاد فضای ویزگی اولیه کاسته شود. این کار با اجرای تبدیلی که داده‌های با بعد بالا را به فضای با بعد کمتر نگاشت می‌کند عملی می‌گردد. مشخص است که در نتیجه اجرای چنین تبدیلی بخشی از اطلاعات موجود در داده‌ها از دست می‌رود. بنابراین تبدیلی (خطی یا غیر خطی) مطلوب خواهد بود که در نگاشت داده‌ها به فضای با بعد کمتر تا حد امکان اطلاعات مفید در امر تشخیص و جداسازی بافت‌های گوناگون را حفظ نماید.

در زمینه استخراج ویزگی از تصاویر MR، سلطانیان زاده [۱] تبدیلی خطی پیشنهاد نمود که داده‌های این تصاویر را به فضای سه بعدی نگاشت می‌نماید. این تبدیل خطی از طریق حداقل سازی مربعات خطای (MSE) فاصله نمونه‌های بافت‌های عادی تا نقاط هدف از پیش انتخاب شده تعیین می‌شود. با بهره‌گیری از همین شیوه زارع [۲] و خرات [۳] روش تبدیل خطی را به ترتیب به تبدیلات شبیه خطی و غیر خطی از مرتبه دوم تعمیم دادند. همچنین خرات انتشار خطای (BPNN) پیشنهاد نمود که شبکه عصبی پس انتشار خطای (BPNN) در آن حداقل نمودن مربعات خطای فواصل نمونه‌های بافت‌های عادی تا نقاط هدف با استفاده از روش پس انتشار خطای انجام می‌گیرد. در این روشها فضای خروجی تنها بر مبنای نمونه‌های بافت‌های عادی استخراج می‌شود و ممکن است بعدهایی که از آنها صرف نظر می‌شود حاوی اطلاعات تشخیصی مفیدی جهت جداسازی بافت‌های غیر عادی از یکدیگر و از بافت‌های عادی باشد. بعلاوه پاسخ تحلیلی

می باشد [۴] و بصورت زیر تعریف می شود:

$$\text{Min} \left(J_1 = \frac{1}{\sum_{i=1}^{N-1} \sum_{j=i+1}^N d_{ij}^*} \sum_{i=1}^{N-1} \sum_{j=i+1}^N \frac{(d_{ij}^* - d_{ij})^2}{d_{ij}^*} \right) \quad (1)$$

که در آن d_{ij}^* و d_{ij} فواصل زوج نقاط ام و زام به ترتیب در فضای ویژگی اولیه و فضای خروجی شبکه عصبی هستند. N تعداد کل پیکسلهای تصویر می باشد. بنابراین حداقل نمودن اینتابع هدف معادل با حفظ فواصل زوج نقاط در نگاشت از فضای اولیه به فضای خروجی است. این خاصیت مهمی است که مانع از نزدیک شدن خوشهای بافتی های متفاوت در اثر کاهش بعد فضای گردد. برای کاهش حجم محاسبات اینتابع هدف، از طریق نمونه برداری، زیر مجموعه آموزشی کوچکی از بین کل نقاط داده موجود تهیه می شود و برای آموزش شبکه عصبی مورد استفاده قرار می گیرد (به بخش نمونه برداری از داده ها مراجعه نمایید).

بهینه سازی پارامترهای شبکه عصبی تحت تاثیر تابع هدف (۱) ممکن است منجر به تبدیلی گردد که در نتیجه آن ماتریس کواریانس داده های تبدیل یافته توسط شبکه عصبی نزدیک به منفرد گردد و بنابراین از کلیه امکانات فضای سه بعدی بهره برداری نخواهد شد. در تابع هدف پیشنهادی دوم برای جلوگیری از ایجاد همبستگی بین ابعاد فضای خروجی تبدیل، کوچکترین مقدار ویژه ماتریس کواریانس داده ها نیز بصورت ضربی در تابع هدف افزوده می شود. اینتابع هدف به صورت زیر است

$$\text{Min} \left(J_2 = \frac{J_1}{\lambda_m} \right) \quad (2)$$

که در این رابطه λ_m کوچکترین مقدار ویژه ماتریس کواریانس داده های نمونه ای بکار گرفته شده در بهینه سازی است.

توابع هدف (۱) و (۲) نقاط هدف معینی برای تجمع بردارهای داده های بافتی های عادی تعیین نمی کنند. بنابراین خوشهای بافتی های عادی ممکن است در هر جایی از فضای خروجی قرار گیرند. برای ساده تر شدن تشخیص این

خروجی، تابع هدفی بر حسب این نقاط انتقال یافته محاسبه می شود. مقدار تابع هدف به عنوان مقدار برازش برای هدایت جستجو به الگوریتم ژئی منتقل می گردد. الگوریتم ژئی بر اساس جمعیتی از رشته های باینری یا کرومزمومها عمل می کند. در هر یک از افراد جمعیت، کلیه متغیرهای شبکه عصبی به صورت رمز شده وجود دارد. الگوریتم ژئی با دریافت مقادیر برازش جمعیت کرومزمومی نسل قبل، جمعیت جدیدی از کرومزمومها را تولید می نماید. هر یک از افراد جمعیت جدید رمزگشایی می شود و یک شبکه عصبی با وزنهای حاصل از آن تولید می شود. سپس کلیه نقاط مجموعه آموزشی توسط آن به فضای جدید منتقل می گردد و مجدداً عملیات محاسبه تابع برازش روی نتایج اجرا می شود و این حلقه از عملیات ادامه پیدا می کند. با پیشرفت الگوریتم و اجرای نسلهای متعدد، به تدریج جمعیت کرومزمومها بهینه می شوند. در نهایت وزنهای رمز شده در مناسبترین فرد از آخرین نسل به عنوان وزنهای بهینه برای شبکه عصبی انتخاب می شود و کلیه داده های تصاویر MR توسط آن به فضای جدید نگاشت می شوند.

بنابراین مشخص است که تابع هدف انتخابی نقش کلیدی در کیفیت نگاشت بدست آمده خواهد داشت. هدف از اجرای تبدیل روی داده های تصاویر MR، کاهش بعد داده ها ضمن حفظ اطلاعات مفید در امر جداسازی خوشهای بافتی است. با توجه به اینکه در مورد تصاویر MR اغلب تنها نمونه های بافتی های عادی (ماده سفید، ماده خاکستری و مایع بصل النخاعی) موجودند، تبدیلی که مربعات خطأ تا نقاط هدف را تنها برای نمونه های بافتی های عادی حداقل نماید لزوماً بهترین تبدیل برای تأمین هدف فوق خواهد بود. در مواردی نظیر مساله بخشندی تصاویر MR که داده های کلاسی تنها برای برخی کلاسها موجود است بهره گیری از قابلیت های روش های استخراج ویژگی بدون نظرارت در ضمن استفاده از اطلاعات کلاسی موجود می تواند راه حل موثر تری باشد. بر این اساس، سه تابع هدف بعنوان معیارهایی برای تنظیم پارامترهای شبکه عصبی ارایه می شوند که معیار بکار رفته در آنها معیاری بدون نظرارت می باشد.

معرفی توابع هدف: اولین تابع هدف تابع خطای سامون

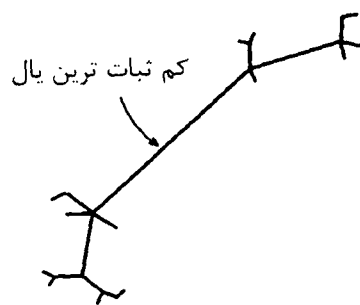
آلگوریتم ژئی تکرار شوند که به این ترتیب هزینه محاسباتی الگوریتم بسیار زیاد می‌شود. بنابراین به روشی برای کاهش تعداد داده‌ها نیاز است که تعداد نمونه‌ها را بطور مونتری کاهش دهد ولی در عین حال تعدادی نمونه از هر بافت در مجموعه داده‌های انتخاب شده وجود داشته باشد. در ادامه شیوه‌ای برای این منظور معرفی می‌شود.

نمونه برداری از داده‌ها: شیوه‌ای برای کاهش تعداد بردارهای داده توسط Öten [۵] پیشنهاد شده است. این روش که از مفاهیم گراف استفاده می‌نماید در تصمیم گیری برای انتخاب نقاط داده به طور موثری ساختار داده‌ها را نیز در نظر می‌گیرد.

فرض کنید $X = \{x_1, x_2, \dots, x_N\}$ مجموعه نقاط داده باشد که هر عضو آن برداری در فضای R^N هستند. این نقاط داده را به عنوان گره‌های یک گراف در نظر می‌گیریم. برای $N(N-1)/2$ نقطه، N فاصله (اقلیدسی) متفاوت بین نقاط را تعیین می‌نماییم و آنها را به عنوان وزن یالهای گراف کامل دربرگیرنده N نقطه انتخاب می‌نماییم. با مشخص شدن وزن یالهای گراف می‌توان درخت مینیمم^۱ را برای این گراف تشکیل داد. برای یک گراف وزندار، MST زیر مجموعه‌ای از یالهای گراف است که تمام گره‌های گراف را به یکدیگر متصل سازد و مجموع وزنهای این یالهای از هر زیر مجموعه دیگر از یالهای که تمام گره‌های گراف را به یکدیگر متصل می‌کنند کمتر باشد. در یک MST، میزان عدم ثبات^۲ برای هر یال متصل کننده زوج نقاط x_i و x_j به صورت نسبت وزن این یال تقسیم بر میانگین وزن تمام یالهای MST که به x_i یا x_j متصل‌اند (باستثنای یال از x_i به x_j) تعريف می‌شود. یعنی:

$$\text{Inconsistency}(i, j) = \frac{d_{ij}}{\frac{1}{s} \left(\sum_{k \in S_i} d_{ik} + \sum_{k \in S_j} d_{jk} \right)} \quad (4)$$

در رابطه (۴) S_i و S_j به ترتیب مجموعه یالهای متصل به x_i و x_j هستند. s نیز تعداد اعضای $S_i \cup S_j$



شکل ۲: یک درخت مینیمم و کم ثبات ترین یال آن.

خواشه‌ها معیار سوم با این محدودیت مطرح می‌شود که بردارهای میانگین داده‌های بافت‌های عادی در فضای خروجی تبدیل متعامد گردند. در نهایت نیز این امتدادهای متعامد بعنوان پایه‌های فضای خروجی اختیار می‌شوند و به این ترتیب در نمایش فضا، بافت‌های عادی در نزدیکی محورهای مختصات خواشند. این تابع هدف بصورت زیر در نظر گرفته می‌شود

$$\text{Min}(J_3 = J_1) \text{ s.t. c. } \sum_{i=1}^3 \sum_{j=1}^3 \left| \frac{m_i \cdot m_j}{\sqrt{m_i \cdot m_j}} \right| \leq \delta \quad (3)$$

در رابطه (۳) و m_i بردارهای میانگین نمونه‌های بافت‌های عادی i ام و δ مقدار خروجی تبدیل اند و J_3 نیز در رابطه (۱) تعریف شد. δ مقدار حقیقی مثبت کوچکی است که در آزمایشات مطرح شده در این مقاله برابر با ۰/۱. انتخاب شده است.

تابع خطای سامون معیاری بدون نظارت می‌باشد. یعنی برای محاسبه آن به داده‌های آموزشی که کلاس عضویت آنها قبلاً به طریقی تعیین شده است (داده‌های برچسب‌دار) نیازی نمی‌باشد. مزیت این تابع خطای اینست که بر اساس حفظ توپولوژی داده‌ها در فضای خروجی عمل می‌کند، مستقل از اینکه داده‌ها به بافت عادی یا غیر عادی تعلق داشته باشند. برای کسب بهترین نتیجه می‌باید تابع خطای سامون برای کلیه بردارهای پیکسلی تصاویر MR محاسبه شود. اما حجم محاسبات تابع سامون بسرعت با افزایش تعداد داده‌ها رشد می‌کند. بعلاوه، این محاسبات می‌باید به تعداد افراد جمعیت هر نسل از

به عنوان وسیله‌ای برای محاسبه تابعی حقیقی از چند متغیر در نظر می‌گیریم که فرم این تابع به مجموعه پارامترهای شبکه بستگی دارد. گرچه بنا به قضیه کلموگروف شبکه عصبی پیشخورد با یک لایه مخفی از $(n+1)$ گره - که در آن n تعداد بعدهای فضای ورودی است - قادر به نمایش هرتابع پیوسته می‌باشد [۶]، ولی راه حلی برای تعیین پارامترهای این شبکه سه لایه بهینه وجود ندارد. در نتیجه اغلب در عمل برای بدست آوردن تقریب مطلوبی برای تابع مورد نظر از بیش از یک لایه مخفی استفاده می‌شود. بر مبنای مطالب فوق در این تحقیق شبکه عصبی پیشخورد چند لایه با توابع فعالیت S شکل متشكل از دو لایه مخفی و سه گره خروجی استفاده می‌شود. تعداد ورودی‌های شبکه برابر با تعداد تصاویر MR است که در اینجا تعداد آنها ۵ می‌باشد. تعداد گره‌های لایه مخفی اول ۱۱ و تعداد گره‌های لایه مخفی دوم به دلخواه ۱۰ انتخاب شدند.

```

 $t = 0;$ 
initialize( $P(t)$ );
evaluate( $P(t)$ );
while not terminate( $P(t)$ ) do
     $t = t + 1;$ 
     $P(t) = select(P(t - 1));$ 
    recombine( $P(t)$ );
    mutate( $P(t)$ );
    evaluate( $P(t)$ );
od

```

الگوریتم ژئی: مساله تنظیم پارامترهای شبکه عصبی فوق یک مساله بهینه سازی در فضای با بعد بالا می‌باشد که ابعاد این فضا توسط تعداد پارامترهای شبکه تعیین می‌گردد. الگوریتمهای ژئی نشان داده‌اند که ارزاری موثر در جستجوی یک فضای بزرگ و پیچیده هستند [۷]. این الگوریتمها با تقلید از مکانیزمهای تکاملی بیولوژیکی نظیر تولید مثل، crossover، و جهش ژئی، جستجویی تطبیقی و بصورت هدایت شده انجام می‌دهند. الگوریتمهای ژئی اولین بار در اوایل دهه ۱۹۷۰ توسط Holland و شاگردانش پیشنهاد و مطالعه شدند. GA ها یکی از نمایندگان کلاسی از الگوریتمهای جستجو هستند که بر مبنای مدل تکامل طبیعی عمل می‌کنند. در

است. شکل (۲) یک درخت مینیمم را همراه با کم ثبات ترین یال آن نشان می‌دهد. علاوه بر این در اینجا، قطر درخت، D ، به صورت حداقل فاصله بین زوج نقاط درخت تعریف می‌شود (این فاصله را نباید با مجموع وزنهای یک مسیر از یک گره به گره دیگر اشتباہ نمود).

الگوریتم نمونه برداری با کل MST آغاز می‌شود. ابتدا MST با حذف بی‌ثبات ترین یال 3 به دو زیر درخت تقسیم می‌شود. سپس زیر درخت حاوی بی‌ثبات ترین یال بعدی به نوبه خود با حذف این یال به دو زیر درخت تقسیم می‌شود. این کار تا بی‌ثبات ترین یال m -ام تکرار می‌شود. در این مرحله $m+1$ خوش در اختیار خواهیم داشت زیرا دو گراف متصل به دو انتهای بی‌ثبات ترین یال دو خوش را تشکیل می‌دهند.

برای زیر درخت متصل به بی‌ثبات ترین یال p -ام، مجموعه نمونه‌های A_p مشکل از چهار عضو تشکیل داده می‌شود. دو عضو اول A_p گره‌های انتهایی بی‌ثبات ترین یال p -ام (x_l^p, x_k^p) هستند. عضوهای سوم و چهارم را نیز نقاط انتهایی قطر p در زیر درخت p -ام تشکیل می‌دهند (x_r^p, x_s^p):

$$A_p = \{x_k^p, x_l^p, x_r^p, x_s^p\}, p = 1, 2, \dots, m \quad (5)$$

تنها اعضای مجموعه $A = \bigcup_{i=1}^m A_i$ را به عنوان نماینده کل داده‌ها در محاسبه تابع خطای سامون بکار می‌بریم. در یافتن نتایجی که در این مقاله مطرح خواهد شد، تعداد یالهای کم ثباتی که حذف می‌گردد برابر $m=100$ است. به این ترتیب حداقل حدود ۴۰۰ نمونه از میان داده‌ها انتخاب خواهد شد. البته این امکان وجود دارد که نقطه انتهایی یال بی‌ثبات با یکی از نقاط دو سر قطر زیر درخت مشترک باشند؛ در این صورت نقاط تکراری در مجموعه نمونه‌ها منظور نخواهد شد. در عمل در آزمایش‌های انجام شده روی تصاویر شبیه سازی و تصاویر MR واقعی، کل تعداد نمونه‌های مجزایی که به این روش نمونه برداری بدست می‌آیند در حدود ۲۴۰ عدد می‌باشد.

معماری شبکه عصبی پیشخورد: در اینجا شبکه عصبی را

a_i مقدار بیت λ است و کل طول هر فرد از جمعیت، $I_x = n \cdot l_x$ است که l_x میزان دقت مقدار رمزگشایی شده را تعیین می‌کند و برای قطعات مختلف موجود در یک رشته کروموزوم ممکن است مقادیر متفاوتی داشته باشد.

هنگامی که تمام افراد یک جمعیت ارزیابی شدند، عملگر گزینش $S^I \rightarrow S^I$ جمعیتی جدید را انتخاب می‌نماید. جمعیت جدید با انتخاب تصادفی λ نمونه از جمعیت نسل قبل تعیین می‌گردد که احتمال انتخاب (p_s) هر فرد توسط برآش نسبی آنها تعیین می‌گردد؛ یعنی:

$$p_s(a_i) = \frac{f(a_i)}{\sum_{j=1}^n f(a_j)} \quad (\text{Proportional Selection}) \quad (7)$$

مشخص است که این شیوه گزینش در حالت مقادیر برآش منفی و یا مساله حداقل سازی با شکست مواجه می‌شود. به این جهت انتخاب تناسبی همراه با شگردهای مقیاس نمودن برآش بکار می‌رود که این شگردها مقادیر تابع هدف $(a_i)^f$ را به مقادیر برآش $(a_i)^f$ تبدیل می‌نمایند.

پس از فرآیند گزینش، تعداد افراد با برآش زیاد نسبت به افراد با برآش کم افزایش می‌یابد. اما هنوز هیچ نقطه جستجوی جدیدی تولید نشده است. این نقاط جستجوی جدید توسط فرآیندهای بازترکیب و جهش λ تولید می‌شوند.

برای فرآیند بازترکیب $I \rightarrow I_c$ که اطلاعات crossover را بین افراد مبادله می‌کند، عملگرهای crossover متعددی معرفی شده‌اند. در اینجا عملگر crossover تک نقطه‌ای که روی دو فرد $(\alpha_1, \alpha_2, \dots, \alpha_l)$ و $(\beta_1, \beta_2, \dots, \beta_l)$ عمل می‌نماید توضیح داده می‌شود. این عملگر به این صورت عمل می‌نماید که ابتدا یک بیت $k \in \{1, \dots, l-1\}$ به طور تصادفی به عنوان نقطه crossover انتخاب می‌شود. سپس بیتهاي بعد از آن، بین دو رشته تعویض می‌شوند. به این ترتیب افراد جدیدی به صورت $a'_1 = (\alpha_1, \dots, \alpha_k, \beta_{k+1}, \dots, \beta_l)$ و $a'_2 = (\beta_1, \dots, \beta_k, \alpha_{k+1}, \dots, \alpha_l)$ تولید می‌شوند. این عملگر با احتمال ثابت p_c ($0/6$ الی $0/9$) اعمال می‌شود. یعنی پس از گزینش دو فرد از جمعیت برای

سالهای اخیر این الگوریتمها به طور وسیعی در مسابقات یادگیری و بهینه سازی بکار رفته‌اند.

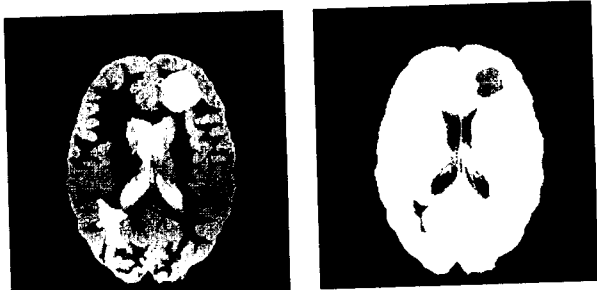
یک الگوریتم λ ساده یا کانونی را می‌توان مطابق شکل (۳) توصیف نمود. در این الگوریتم λ شماره نسل و $P(t) = \{a_1, a_2, \dots, a_n\}$ جمعیت در نسل t است که شامل λ فرد $a_1, a_2, \dots, a_\lambda$ می‌باشد. ابتدا جمعیتی از افراد یا کروموزومها که هر کدام یک نقطه جستجو در فضای پاسخهای ممکن مساله هستند، تولید می‌شوند. این جمعیت اولیه اغلب به طور تصادفی تعیین می‌گردد. این روش جستجو بر مبنای یک فرآیند یادگیری تجمعی در داخل جمعیت فوق عمل می‌کند. جمعیت افراد قادر است با محیط داده شده تطبیق پیدا کند که این کار توسط فرآیندهای تصادفی گزینش، بازترکیب و جهش λ انجام می‌گیرد. پسخوردی که هر فرد از محیط دریافت می‌کند اطلاعاتی در مورد کیفیت (برآش) و میزان انطباق آن فرد با محیط را تعیین می‌نماید.

فرآیند گزینش باعث می‌شود افراد با برآش بهتر بیش از سایرین تولید مثل انجام دهند. بازترکیب امکان تبادل اطلاعات بین افراد را فراهم می‌کند و موتاسیون نیز اطلاعات جدید به جمعیت نسل وارد می‌کند. حین فرآیند تکامل، در نتیجه عمل همزمان فرآیندهای فوق، کیفیت یا برآش متوسط جمعیت افزایش می‌یابد و می‌توان امیدوار بود که جستجو به نقطه بهینه منتهی شود.

GA ها بر مبنای رشته‌های باینری با طول ثابت عمل می‌کنند؛ یعنی $I = \{0, 1\}^n$ که I فضای جستجوی افراد است. تابع برآش $R \rightarrow f: I \rightarrow R$ کیفیت افراد را ارزیابی می‌نماید. به این ترتیب به نظر می‌رسد که GA ها محدود به بهینه سازی توابع شبه بولی می‌شوند، اما به روش ساده‌ای می‌توان آنها را برای مسابقه به شکل $[u_i, v_i]_{i=1}^n : f$ نیز بکار برد. این کار با استفاده از توابع رمزگشایی $R \rightarrow I_x^k : \{0, 1\}^k \rightarrow I_x$ که قطعات با طول I_x را به فواصل $[u_i, v_i]$ متناظر می‌نماید، عملی می‌شود. اغلب چنین تابعی به صورت زیر انتخاب می‌شود:

$$\Gamma_x^k(\alpha_1, \dots, \alpha_{I_x}) = u_i + \frac{(v_i - u_i)}{2^k - 1} \left(\sum_{j=1}^k \alpha_j 2^{j-1} \right) \quad (8)$$

این الگوریتم ابتدا شرط تعامد بعنوان تابع هدف بهینه می شود. این مرحله به جهت حجم محاسبات کم سریع اجرا می شود. در مرحله دوم ، تابع هدف همراه با محدودیت تعامد بعنوان تابع برازش بکار می رود. در این حالت برای هر فرد از جمعیت پیش از محاسبه خطای سامون، شرط تعامد بررسی می شود؛ در صورتی که این شرط برآورده نتگردد بدون محاسبه خطای سامون، برازش بسیار کوچک از پیش تعیین شده ای به آن فرد نسبت داده می شود. به این ترتیب جستجو برای حداقل سازی خطای سامون تنها به مجموعه نقاطی از فضای که شرط تعامد را ارضاء می کنند محدود می گردد.



شکل ۴: دو نمونه تصویر از سری تصاویر شبیه سازی.

نتایج

در این بخش نتایج روشهای پیشنهادی با نتایج روشهای تبدیل خطی و تبدیل شبکه عصبی پیشخورد پس انتشار خطا (BPNN) که در مقدمه ذکر شدند مقایسه می شوند.

بررسی بر حسب تصاویر شبیه سازی: جهت بررسی کیفیت فضای استخراج شده توسط هر تابع هدف ، یک سری تصاویر MR شبیه سازی شده مت Shankl از پنج تصویر تهیه شدند. در این تصاویر شبیه سازی شده شدت روشنایی بافتها ، مشابه شدت روشنایی بافت‌های متناظر در تصاویر MR واقعی انتخاب شدند. شکل (۴) دو مورد از این تصاویر را نشان می دهد. مشاهده می شود که در این تصاویر علاوه بر بافت‌های عادی (ماده سفید، ماده خاکستری و مایع مغزی نخاعی یا CSF)، دو ناحیه دیگر نیز با شدت روشنایی متفاوت به عنوان بافت‌های غیر عادی گنجانده شده‌اند. یکی از این دو ناحیه به صورت ناحیه مرکزی و دیگری به صورت ناحیه حاشیه‌ای بافت غیر عادی در نظر گرفته شده‌اند. برای سادگی مراجعه، آنها را

crossover می شود.

در نهایت عملگر جهش زنی با احتمال p_m (۰/۰۰۱) روی تمام بیتها افراد عمل می کند. اگر بیتی برای موتاسیون انتخاب شود، مقدار آن بیت با مکمل اش جایگزین می گردد. این عملگر را اغلب به عنوان عملگر پس زمینه در نظر می گیرند که امکان بازیابی بیتها همگرا شده یعنی بیتها که در بین کل جمعیت مقدار یکسانی دارند را فراهم می کند.

در اینجا فرم کانونی الگوریتم زنی [۷] در بهینه سازی پارامترهای شبکه عصبی بکار می رود تنها با این تفاوت که بهترین فرد نسل قبل نیز در مجموعه افراد نسل جدید قرار داده می شود. با این کار بهترین برازش نسل با پیشرفت الگوریتم بطور یکنواخت افزایش یا کاهش می یابد و بررسی نحوه پیشرفت الگوریتم را ساده تر می نماید.

جدول (۱) مقادیر پارامترهای بکار رفته در الگوریتم زنی را نشان می دهد. شرط توقف الگوریتم زنی اجرای تعداد معینی از نسلها در نظر گرفته شد. مقادیر تعداد نسل بر حسب مشاهدات حاصل از اجرای الگوریتم برای تصاویر شبیه سازی انتخاب شدند. در انتخاب این تعداد نسل، مصالحه‌ای بین ارضای بهینه سازی تابع هدف و هزینه محاسباتی قابل قبول برای بهینه سازی شبکه عصبی صورت گرفته است. تعداد نسلها ای الگوریتم زنی برای ۶۰۰ انتخاب گردید.

جدول ۱. مشخصات الگوریتم زنی.

| جمعیت نسل | |
|---|---------------|
| نحوه رمز نمودن پارامترها | Gray Code |
| احتمال crossover | .۱۶ |
| احتمال جهش زنی (mutation) | .۰۰۰۱ |
| تعداد نقاط | تک نقطه‌ای |
| معیار توقف الگوریتم | اجرای ۶۰۰ نسل |
| تعداد بیت اختصاص داده شده به هر پارامتر | ۱۰ بیت |
| وزن شبکه عصبی | |
| باره تغییرات در نظر گرفته شده برای هر متغیر | [۵,۵] |

جهت بهینه سازی تابع هدف با محدودیت (۳) از یک الگوریتم دو مرحله‌ای استفاده گردید. در مرحله اول

اختیار می‌شود که شدت روشنایی بیشتری نسبت به اطراف خود دارند. با مشخص شدن موقعیت مراکز تمام خوشها، هر یک از نقاط داده در تصویر پرسپکتیو به خوشها که مرکزش کمترین فاصله اقلیدسی را تا آن نقطه دارد، نسبت داده می‌شود. به این ترتیب وضعیت عضویت نقاط داده در خوشها معین می‌گردد. با در نظر گرفتن پیکسلهای متناظر با داده‌های موجود در هر یک از خوشها به عنوان یک ناحیه (بافت) خاص از مغز، یک بخشندی برای سری تصاویر MR بدست می‌آید. نمونه بخشندی‌های بدست آمده به این طریق در شکل (۵) نشان داده شده است. چنانکه مشاهده می‌شود روش شبکه عصبی پس انتشار خطا اغلب، خوشها داده را که در فضای اولیه به جهت نوع توزیع (نویز سفید گوسی) فرم کروی گون دارند در فضای خروجی به شکل خوشها کشیده و امتداد یافته نگاشت می‌نماید. این وضعیت به خصوص در صورت افزایش نویز، تشخیص مرز خوشها و لذا تمیز دادن خوشها متفاوت از یکدیگر را مشکل می‌سازد. همچنین نتایج این روش معمولاً خوشها بافت‌های CSF و L1 و L2 را در نزدیکی یکدیگر نگاشت می‌نماید که این وضع نیز بر مشکل شدن جدا سازی این بافت‌ها می‌افزاید.

در نگاشت بدست آمده از روش خطی، به علت تصویر شدن^۵ داده‌ها به فضای با بعد کمتر فرم کروی شکل خوشها به خوشها کشیده‌ای در فضای خروجی تبدیل شده است. این روش هرچند بافت L2 را به خوبی متمایز می‌نماید ولی در اینجا نیز بافت‌های L1 و CSF در مجاورت

به ترتیب بافت L1 و L2 می‌نامیم (که از حرف اول کلمه استفاده شده است).

جدول (۲) میانگین شدت روشنایی بافت‌های مختلف را در تصاویر شبیه سازی نشان می‌دهد. ملاحظه می‌شود که سه بافت CSF، L1 و L2 در اکثر تصاویر شدت روشنایی مشابهی دارند و تنها در تصویر اول کنتراست مناسبی بین آنها برقرار است.

تصاویر شبیه سازی از افزودن نویز سفید گوسی با میانگین صفر و انحراف معیار واحد به مقادیر میانگین شدت روشنایی در جدول (۲) ایجاد شدند. در میان بافت‌های عادی، پیکسلهایی که شدت روشنایی آنها ترکیبی از شدت روشنایی دو بافت مجاور است به عنوان شبیه سازی نواحی پیکسلهای آمیخته^۶ در نظر گرفته شده‌اند. بنابراین با در نظر گرفتن ناحیه زمینه تصویر، در مجموع هشت ناحیه مختلف در این تصاویر وجود دارد. تمام تصاویر تولید شده دارای ابعاد ۲۵۶×۲۵۶ پیکسل هستند. جدول (۳) مقادیر سیگنال به نویز (SNR) را برای این پنج تصویر نمایش می‌دهد.

مقصود اولیه ما از استخراج ویژگی‌های سه گانه، استفاده از آنها برای ایجاد تجسمی از توزیع داده‌ها و بخشندی تصویر با استفاده از هیستوگرام سه بعدی می‌باشد. بنابراین پس از نگاشت داده‌ها به فضای سه بعدی، تصویر پرسپکتیو هیستوگرام سه بعدی تهیه می‌گردد. تصاویر شکل (۵) نمونه‌ای از پرسپکتیو فضای استخراج شده توسط هر یک از روشها را نمایش می‌دهد. در این تصاویر مراکز خوش به صورت دستی با ترسیم دایره‌ها مشخص گردیده است. مراکز خوشها، متناظر با نقاطی

جدول ۲: مقادیر میانگین شدت روشنایی پیکسلهای بافت‌ها در تصاویر شبیه سازی.

| شماره تصویر | نام بافت | ماده سفید | ماده خاکستری | مایع مغزی نخاعی | قسمت غیرعادی (L1) | قسمت داخلی بافت |
|-------------|----------|-----------|--------------|-----------------|-------------------|-----------------|
| | | | | | غیرعادی (L2) | غیرعادی (L1) |
| ۱ | ۱۰۸/۵۰ | ۱۰۶/۵۰ | ۱۰۸/۵۰ | ۲۵۰/۵۸ | ۷۸/۰۵ | ۹۸/۰۰ |
| ۲ | ۹۸/۳۷ | ۱۰۵/۱۰ | ۱۰۱/۱۲ | ۱۰۱/۰۰ | ۱۲۰/۰۰ | ۱۰۱/۹۶ |
| ۳ | ۶۲/۴۲ | ۷۲/۶۱ | ۸۸/۳۱ | ۸۵/۰۰ | ۸۰/۰۰ | ۸۰/۰۰ |
| ۴ | ۴۲/۸۲ | ۵۵/۰۲ | ۸۰/۱۳ | ۸۹/۹۷ | ۸۵/۰۱ | ۸۵/۰۱ |
| ۵ | ۲۹/۰۲ | ۴۱/۸۲ | ۷۱/۸۱ | ۸۲/۰۱ | ۷۷/۹۸ | ۷۷/۹۸ |

جدول ۳: مقادیر SNR در تصاویر شبیه سازی بر حسب دسی بل.

| شماره تصویر | SNR [dB] | ۱ | ۲ | ۳ | ۴ | ۵ |
|-------------|----------|-------|-------|-------|---|---|
| ۳۸/۰۴ | ۴۱/۳۹ | ۲۲/۸۹ | ۲۷/۲۲ | ۲۴/۳۰ | ۴ | ۵ |

کل آن نیز از تمام روشها پایین‌تر است. اما با افزایش نویز این وضعیت کاملاً تغییر می‌کند و مقادیر خطأ به شدت افزایش می‌یابند.

روش تابع هدف اول در حالت نویز کم پس از روش خطی کمترین خطأ را تولید می‌کند. پس از آن روش تابع هدف دوم نیز خطای کمتری نسبت به دیگران ایجاد می‌نماید. مزیت این دو روش این است که در حالت نویز بالا هم برتری خود را بر سایرین حفظ می‌نماید و هر چند به لحاظ خطای کل بهترین نیستند ولی به لحاظ جدا سازی بافت‌های غیرعادی (خطای سه بافت CSF، L1 و L2) بر سایرین برتری دارند.

در مورد روش BPNN (شبکه عصبی پس انتشار خطای)، از مقادیر خطای سه بافت مشابه مشخص می‌شود که این روش در اغلب موارد جدا سازی مناسبی برای این سه بافت ایجاد نمی‌نماید. روش تابع هدف سوم نیز تنها در نویز پایین نتایج خوب ارایه نموده است.

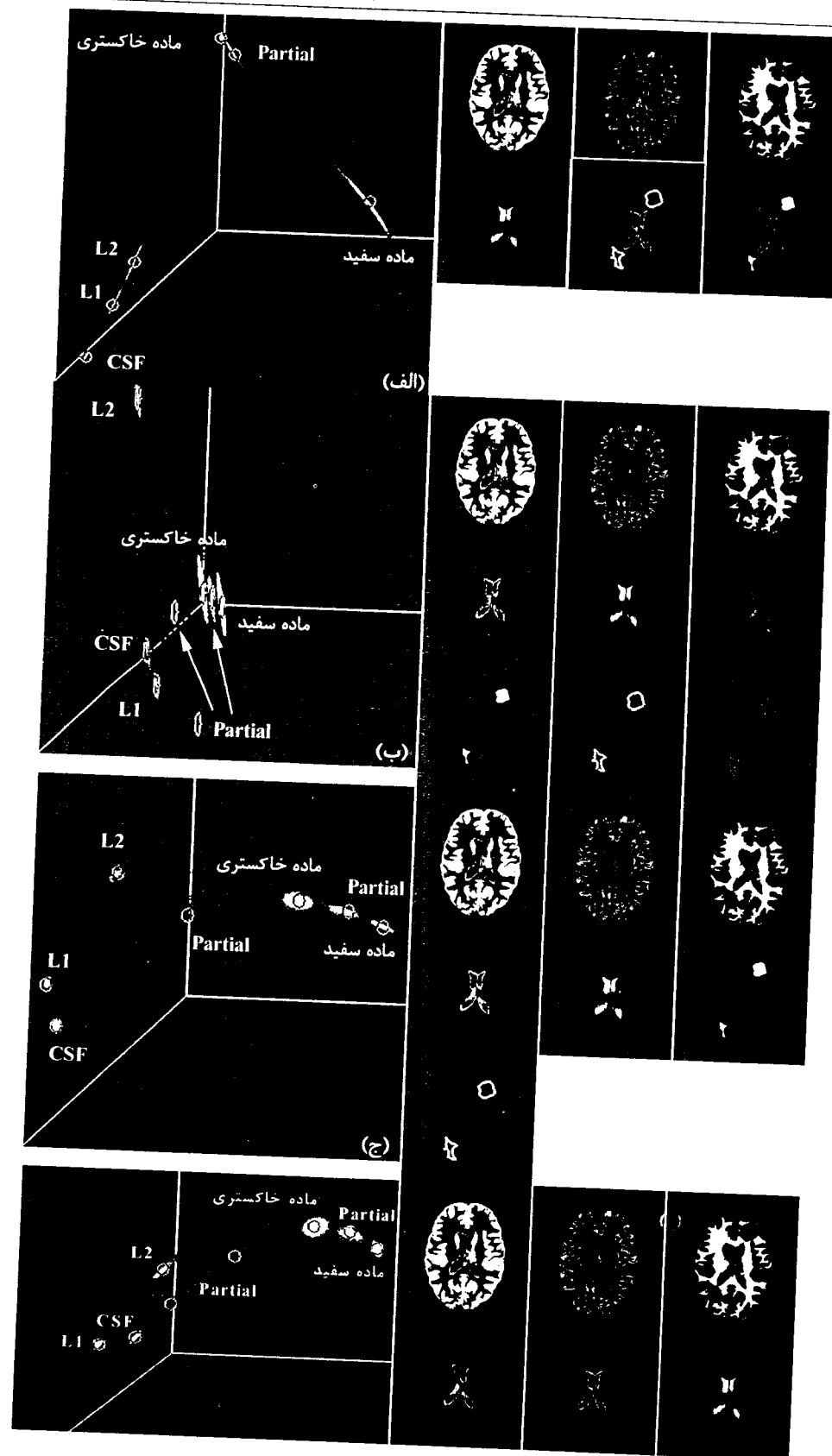
بررسی بر حسب تصاویر واقعی MR: برای بررسی عملکرد روشها در برابر تصاویر واقعی، ۱۰ سری تصویر MR واقعی مربوط به ۱۰ بیمار مختلف در نظر گرفته شدند. بافت‌های غیرعادی در این تصاویر توسط یک متخصص رادیولوژی بخشندی شدند. نتایج نگاشت داده‌ها نیز مطابق توضیح بخش بررسی بر حسب تصاویر شبیه سازی، به صورت دستی با تعیین مراکز خوش‌های تولید شده در هیستوگرام سه بعدی فضای خروجی تبدیلات، بخشندی شدند.

برای تصاویر واقعی تنها دقت بخش بندی بافت‌های غیر عادی را در مقایسه‌ها در نظر می‌گیریم. بافت‌های غیرعادی تصاویر MR توسط یک متخصص رادیولوژیست بخش بندی شدند. این بخش بندی‌ها را بخش بندی دقیق می‌نامیم. سپس استخراج ویژگی هر یک از سری تصاویر توسط تمام روشها صورت گرفت. در نتیجه اجرای هر روش، سه تصویر ایجاد می‌شود که از آنها برای تشکیل دادن هیستوگرام سه بعدی استفاده می‌شود. در نهایت

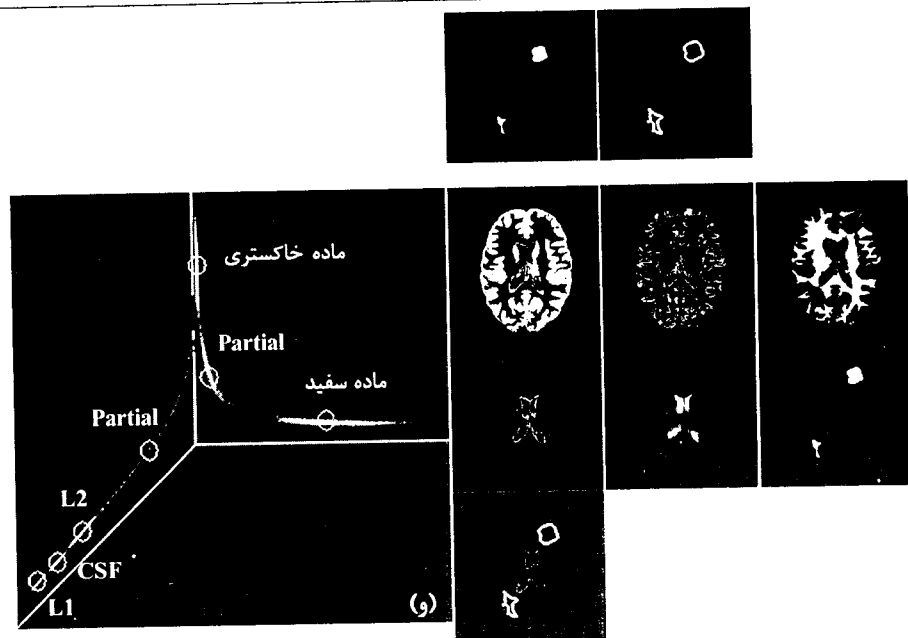
یکدیگر نگاشت شده‌اند. در فضای استخراج شده توسط روش تابع هدف (۱) خوش‌های بافت‌ها فرم کروی گون خود را همچنان حفظ کرده‌اند. این روش هر چند خوش‌های نگاشت می‌نماید ولی به خوبی بافت‌های CSF و بافت‌های غیر عادی را از یکدیگر متمایز می‌سازد. روش تابع هدف (۲) نیز نتایجی بسیار مشابه تابع هدف (۱) تولید نموده است. از نتایج روش تابع هدف (۳) مشخص می‌شود که شرط تعامل بردار میانگین بافت‌های عادی در فضای خروجی، قابلیت جدا سازی تابع هزینه سامون را به شدت تنزیل داده است. در نتایج حاصل از این روش نیز خوش‌های بافت‌های عادی کشیدگی زیادی پیدا می‌کنند که کنتراست خوش‌های در تصویر هیستوگرام را کاهش می‌دهد.

برای بررسی میزان حساسیت نتایج بخشندی به نویز، تصاویر شبیه سازی با انحراف معیار نویز به ترتیب به میزان نصف و دو برابر آنچه که در ابتدای این بخش ذکر شد تولید شدند. جدول (۴) مقادیر میانگین خطای بخشندی برای تصاویر شبیه سازی را به ازای ۱۰ تکرار هر یک از روش‌های مختلف نشان می‌دهد. در این جدول، مقادیر خطای بخشندی در دو حالت محاسبه شده‌اند. یک بار بر حسب خطای بخشندی کل بافت‌ها و یک بار بر حسب خطای بخشندی سه بافت باشد. روش‌نایاب مشابه یعنی CSF، بافت غیر عادی L1 و بافت غیر عادی L2 محاسبه انجام شده است. با توجه به اینکه هدف اصلی از بخشندی، بخشندی دقیق بافت‌های غیر عادی است، بیشتر مطلوب است که در میان دو مقدار خطای فوق مورد دوم مقادیر کمتری داشته باشد.

توجه نمایید که روش خطای برخلاف سایرین که از شبکه عصبی استفاده می‌کنند، نیازی به مقدار دهی اولیه پارامترها ندارد. این روش تنها یک بار اجرا شده است و لذا انحراف معیار خطای برای آن روش صفر است. روش خطای در حالت نویز کم بسیار خوب عمل می‌کند و برای سه بافت مشابه خطاهایی در حد صفر ارایه می‌نماید. خطای



شکل ۵: نمونه‌ای از تصویر پرسپکتیو هیستوگرام سه بعدی حاصل از هر یک از روشها. الف- شبکه عصبی پس انتشار. ب- تبدیل خطی بهینه. ج-تابع هدف اول. د-تابع هدف دوم. و-تابع هدف سوم.



ادامه شکل ۵

جدول ۴ : خطای بخشنده حاصل از انتخاب مرکز خوشها در تصویر پرسپکتیو هیستوگرام سه بعدی. مقادیر خطای بر حسب درصد نسبت به کل پیکسلهای مغز یا کل پیکسلهای سه بافت CSF، L1، و L2 بیان شده‌اند.

| نام کمیت | نام روش | کاهش نویز | | | |
|--------------|--------------|--------------|-------|-------|---------------------------|
| تابع هدف (۳) | تابع هدف (۲) | تابع هدف (۱) | خطای | BPNN | |
| ۲/۰۴ | ۱/۲۷ | ۱/۲۴ | ۱/۰۰ | ۶/۲۹ | میانگین خطای کل |
| ۰/۲۱ | ۰/۰۰ | ۰/۰۰ | ۰/۰۰ | ۲۱/۲۲ | میانگین خطای سه بافت |
| ۱/۱۵ | ۰/۴۸ | ۰/۴۲ | ۰/۰۰ | ۳۴/۶ | انحراف معیار خطای کل |
| ۰/۲۴ | ۰/۰۰ | ۰/۰۰ | ۰/۰۰ | ۲۹/۲۷ | انحراف معیار خطای سه بافت |
| ۴/۵۷ | ۱/۴۵ | ۱/۰۹ | ۱/۰۱ | ۲۵/۵ | میانگین خطای کل |
| ۱۳/۸۷ | ۳/۸۸ | ۰/۱۴ | ۰/۰۰ | ۱۸/۳۹ | میانگین خطای سه بافت |
| ۱/۳۹ | ۰/۹۸ | ۰/۳۷ | ۰/۰۰ | ۴/۳۱ | انحراف معیار خطای کل |
| ۱۵/۴۵ | ۸۴/۴ | ۰/۳۳ | ۰/۰۰ | ۲۱/۳۰ | انحراف معیار خطای سه بافت |
| ۸/۱۹ | ۴/۸۹ | ۷۵/۶ | ۳۵/۴ | ۷/۰۷ | میانگین خطای کل |
| ۱۸/۳۵ | ۲/۴۸ | ۳/۳۶ | ۲۷/۱۴ | ۲۷/۷۶ | میانگین خطای سه بافت |
| ۲/۸۱ | ۲/۷۹ | ۳/۳۹ | ۰/۰۰ | ۳/۰۳ | انحراف معیار خطای کل |
| ۱۰/۶۲ | ۵/۲۰ | ۸/۴۲ | ۰/۰۰ | ۲۱/۶۰ | انحراف معیار خطای سه بافت |

ناحیه در نظر می‌گیریم و دقت جدا سازی پیکسلهای این ناحیه را از پیکسلهای بافت‌های عادی محاسبه می‌نماییم. برای این منظور هر یک از نواحی بخش‌بندی شده جداگانه بررسی می‌شوند. در صورتی که بیش از نیمی از پیکسلهای ناحیه بخش بندی شده در مجموعه پیکسلهای بافت‌های غیرعادی وجود داشته باشند، پیکسلهای این ناحیه از

مطابق با توضیح بخش قبل با انتخاب مرکز خوشه در تصویر پرسپکتیو هیستوگرام، تصاویر بخش بندی می‌شوند. نتایج بخش بندی در دو مرحله به شرح زیر ارزیابی می‌شوند:

مرحله اول: در این مرحله کل پیکسلهای بافت‌های غیر عادی را (که توسط متخصص تعیین شده‌اند) به عنوان یک

از بررسی نتایج برای سایر بیماران مشخص می‌شود که دو روش تابع هدف دوم و تابع هدف اول تقریباً مشابه یکدیگر عمل می‌نمایند. این دو روش ضمن اینکه نرخ پذیرش درست نسبتاً بالایی دارند تقریباً همواره کمترین میزان مجموع خطا را تولید می‌نمایند.

نتایج مرحله دوم ارزیابی در جدول (۶) نشان داده شده است. این جدول دقت جدا سازی بافت‌های غیرعادی از یکدیگر را نشان می‌دهد. در این جدول نرخ پذیرش صحیح و نرخ پذیرش نادرست برای هر بافت غیرعادی به صورت جداگانه محاسبه شده‌اند. برای محاسبه این کمیتها تنها بخش بندی‌هایی که پیکسلهای آنها طی مرحله قبل در مجموعه R قرار داده شده‌اند، در نظر گرفته می‌شوند. هر بخش بندی در صورتی به بافت غیرعادی n -ام نسبت داده می‌شود که تعداد پیکسلهای بیشتری در آن بافت داشته باشد. در این صورت پیکسلهای آن بخش بندی به مجموعه R_n افزوده می‌شود.

بر این اساس تعداد پذیرش صحیح برای بافت غیرعادی n -ام عبارت خواهد بود از تعداد پیکسلهایی از مجموعه R_n که در بخش بندی دقیق نیز به بافت غیرعادی n -ام تعلق داشته باشند. تعداد پذیرش نادرست برای بافت غیرعادی n -ام عبارتست از تعداد پیکسلهای مجموعه R_n که در بخش بندی دقیق به بافت n -ام تعلق ندارند. به این ترتیب این نرخ، تعداد پیکسلهایی از بافت‌های غیر عادی دیگر که در بخش بندی بافت غیر عادی n -ام قرار گرفته‌اند را تعیین می‌نماید.

مشخص است که در جدول (۶) تنها بیمارانی که بافت‌های غیرعادی در تصاویر آنها بیش از یکی است، در نظر گرفته شده‌اند. در این جدول برای مثال در تصاویر بیمار اول پنج بافت غیر عادی متفاوت وجود دارد که با نامهای L_1 تا L_5 نامگذاری شده‌اند. تعداد پیکسلهای هر بافت با عنوان اندازه بافت ارایه شده است. مشاهده می‌شود روش تابع هدف دوم موفقتر از سایرین قادر به جدا سازی بافت‌های غیرعادی از یکدیگر بوده است. پس از آن روش تابع هدف اول به لحاظ توانایی تفکیک بافت‌های غیرعادی در مرحله بعدی قرار دارد و سه بافت غیرعادی را از یکدیگر جدا نموده است.

بخش بندی را به مجموعه‌ای به نام R می‌افزاییم. پس از انجام این کار برای تمام نواحی بخش بندی، خطای بخش بندی کل بافت‌های غیرعادی (که اکنون در مجموعه R جمع آوری شده‌اند) را محاسبه می‌نماییم.

مرحله دوم: در این مرحله دقت بخش بندی در جدا سازی بافت‌های غیر عادی مختلف از یکدیگر را بررسی می‌کنیم. جهت این بررسی تنها نواحی بخش بندی شده‌ای را که در مرحله اول به عنوان بافت غیرعادی شناخته شده‌اند در نظر می‌گیریم.

جدول (۵) دقت بخش بندی کل پیکسلهای بافت‌های غیر عادی که توسط هر روش تولید شده است، را نشان می‌دهد. در این جدول تعداد پذیرش صحیح عبارتست از تعداد اعضای مجموعه R که در بخش بندی‌های دقیق (انجام شده توسط متخصص) نیز به عنوان بافت غیرعادی محاسب شده‌اند. درصد تطابق کل از تقسیم نمودن این تعداد بر تعداد کل پیکسلهای بافت‌های غیرعادی در بخش بندی‌های دقیق و بیان آن به صورت درصد حاصل می‌شود. تعداد پذیرش نادرست تعداد اعضای مجموعه R است که در بخش بندی‌های دقیق به عنوان بافت عادی شناخته شده‌اند. تعداد حذف نادرست، تعداد پیکسلهای بافت غیرعادی در بخش بندی‌های دقیق است که در مجموعه R وجود ندارند.

برای مثال در این جدول برای اولین بیمار مشاهده می‌شود که بیشترین نرخ پذیرش صحیح مربوط به روش شبکه عصبی پس انتشار خطا (BPNN) می‌باشد. اما میزان پذیرش نادرست این روش نیز بالاست. روشهای تابع هدف دوم و تابع هدف سوم هر دو نرخ پذیرش صحیح بالایی دارند. این دو (و بخصوص تابع هدف دوم) در مقایسه با روش شبکه عصبی پس انتشار میزان پذیرش نادرست کمتری دارند. در بین تمام روشهای میزان خطای کل در این دو روش از همه کمتر است. روش تابع هدف سوم میزان پذیرش صحیح بالایی فراهم نموده است. نرخ پذیرش نادرست این روش به مراتب کمتر از نتیجه روش BPNN است. روش خطی هر چند میزان پذیرش نادرست کمی دارد ولی میزان حذف نادرست آن بالا می‌باشد.

جدول ۵: ارزیابی کمی دقت مشخص سازی کلیه بافت‌های غیر عادی در تصاویر MR واقعی.

| خطای کل | درصد تطابق کل | کل تعداد پیکسلهای غیر عادی | حذف نادرست | پذیرش نادرست | پذیرش صحیح | کمیات نام روشن خط. | بیمار اول |
|---------|---------------|----------------------------|------------|--------------|------------|--------------------|-------------|
| ۲۳۶. | ۵۶/۵۹ | ۴۳۹۸ | ۱۹۰ | ۴۵۱ | ۲۴۸۹ | | بیمار اول |
| ۱۱۶۸ | ۹۲/۲۲ | ۴۳۹۸ | ۳۲۰ | ۸۴۸ | ۴۰۷۸ | تابع دوم | |
| ۱۵۱۸ | ۸۳/۶۷ | ۴۳۹۸ | ۷۱۸ | ۸۰۰ | ۳۶۸۰ | تابع اوا | |
| ۲۲۶۳ | ۹۶/۰۰ | ۴۳۹۸ | ۱۷۶ | ۲۰۸۷ | ۴۲۲۲ | BPNN | |
| ۱۹۱۷ | ۹۲/۰۲ | ۴۳۹۸ | ۳۵۱ | ۱۵۶۶ | ۴۰۴۷ | تابع سوم | |
| ۳۷۱۹ | ۱۰/۰۷ | ۳۸۵۰ | ۲۴۴۳ | ۲۷۶ | ۴۰۷ | خط. | بیمار دوم |
| ۹۷۷ | ۹۴/۰۵ | ۳۸۵۰ | ۲۲۹ | ۷۴۸ | ۳۶۲۱ | تابع دوم | |
| ۷۱۱ | ۹۳/۰۸ | ۳۸۵۰ | ۲۴۷ | ۴۶۶ | ۳۶۰۳ | تابع اوا | |
| ۲۵۶۳ | ۱۴/۱۸ | ۳۸۵۰ | ۲۲۰۴ | ۲۵۹ | ۵۶۶ | BPNN | |
| ۲۶۹۸ | ۱۸/۱۸ | ۳۸۵۰ | ۳۱۵۰ | ۵۴۸ | ۷۰۰ | تابع سوم | |
| ۲۴۳۷ | ۱۸/۴۴ | ۲۵۰۵ | ۲۰۴۳ | ۳۹۴ | ۴۶۲ | خط. | بیمار سوم |
| ۵۵۸ | ۷۹/۹۶ | ۲۵۰۵ | ۰۰۲ | ۵۶ | ۲۰۰۳ | تابع دوم | |
| ۵۱۴ | ۸۱/۰۶ | ۲۵۰۵ | ۴۶۲ | ۵۲ | ۲۰۴۳ | تابع اوا | |
| ۲۲۴۸ | ۱۴/۲۳ | ۲۵۰۵ | ۲۱۴۶ | ۱۰۲ | ۳۵۹ | BPNN | |
| ۱۰۱۲ | ۶۹/۱۴ | ۲۵۰۵ | ۷۷۳ | ۲۳۹ | ۱۷۲۲ | تابع سوم | |
| ۱۷۱۹ | ۵۰/۱۸ | ۲۳۷۵ | ۱۱۷۶ | ۵۴۳ | ۱۱۹۹ | خط. | بیمار چهارم |
| ۱۴۴۳ | ۵۰/۱۶ | ۲۳۷۵ | ۱۱۷۹ | ۲۶۴ | ۱۱۹۶ | تابع دوم | |
| ۱۴۰۳ | ۶۴/۱۸ | ۲۳۷۵ | ۱۳۶ | ۵۶۷ | ۱۵۲۹ | تابع اوا | |
| ۱۷۳۱ | ۴۷/۹۶ | ۲۳۷۵ | ۱۲۳۶ | ۴۹۵ | ۱۱۳۹ | BPNN | |
| ۲۱۸۵ | ۲۰/۹۳ | ۲۳۷۵ | ۱۸۷۸ | ۲۰۷ | ۴۹۷ | تابع سوم | |
| ۱۱۰۸ | ۸۶ | ۲۱۰۷ | ۲۹۵ | ۸۱۳ | ۱۸۱۲ | خط. | بیمار پنجم |
| ۱۸۶۸ | ۷۷/۰۵ | ۲۱۰۷ | ۴۷۳ | ۳۹۵ | ۱۶۲۴ | تابع دوم | |
| ۷۹۵ | ۱۹/۱۸ | ۲۱۰۷ | ۲۲۸ | ۵۶۷ | ۱۸۷۹ | تابع اول | |
| ۲۱۰۷ | . | ۲۱۰۷ | ۲۱۰۷ | . | . | BPNN | |
| ۱۲۴۹ | ۵۹/۶۱ | ۲۱۰۷ | ۸۵۱ | ۳۹۸ | ۱۲۵۶ | تابع سوم | |
| ۲۱۳۹ | ۶۴/۴۴ | ۵۱۰۴ | ۱۸۱۵ | ۳۲۲۶ | ۳۲۸۹ | خط. | بیمار ششم |
| ۹۵۷ | ۹۴/۵۹ | ۵۱۰۴ | ۲۷۶ | ۶۸۱ | ۴۸۲۸ | تابع دوم | |
| ۱۱۴۱ | ۸۷/۱۹ | ۵۱۰۴ | ۶۰۴ | ۴۸۷ | ۴۴۵۰ | تابع اوا | |
| ۳۵۲۲ | ۸۷/۲۸ | ۵۱۰۴ | ۶۴۹ | ۲۸۷۳ | ۴۴۵۵ | BPNN | |
| ۱۵۷۱ | ۸۲/۲۹ | ۵۱۰۴ | ۹۰۴ | ۶۶۷ | ۴۲۰ | تابع سوم | |
| ۱۸۹ | ۳۹/۰۲ | ۱۲۸۹ | ۷۸۶ | ۸۳ | ۵۰۳ | خط. | بیمار هفتم |
| ۵۰۰ | ۵۹/۲۸ | ۱۲۸۹ | ۳۹۶ | ۵۴ | ۱۹۳ | تابع دوم | |
| ۰۵۱ | ۷۵/۰۲ | ۱۲۸۹ | ۳۲۲ | ۲۱۹ | ۹۶۷ | تابع اوا | |
| ۱۲۸۹ | . | ۱۲۸۹ | ۱۲۸۹ | . | . | BPNN | |
| ۱۲۱۰ | ۲۵/۸۳ | ۱۲۸۹ | ۹۵۶ | ۲۵۴ | ۳۳۳ | تابع سوم | |
| ۲۲۰ | . | ۲۲۰ | ۳۲۰ | . | . | خط. | بیمار هشتم |
| ۲۰۰ | ۵۳/۷۵ | ۲۲۰ | ۱۴۸ | ۵۷ | ۱۷۲ | تابع دوم | |
| ۹۶ | ۷۰ | ۲۲۰ | ۹۶ | . | ۲۲۴ | تابع اول | |
| ۲۲۰ | . | ۲۲۰ | ۳۲۰ | . | . | BPNN | |
| ۹۴ | ۷۰/۹۴ | ۲۲۰ | ۹۳ | ۱ | ۲۲۷ | تابع سوم | |
| ۱۷۸۸ | ۷۲/۴۷ | ۲۱۳۲ | ۵۸۷ | ۱۱۸۱ | ۱۰۴۵ | خط. | بیمار نهم |
| ۷۶۶ | ۸۰/۶۸ | ۲۱۳۲ | ۴۱۲ | ۳۵۴ | ۱۷۷ | تابع دوم | |
| ۱۰۳۲ | ۶۸/۱۲ | ۲۱۳۲ | ۶۷۸ | ۳۵۴ | ۱۴۵۴ | تابع اوا | |
| ۱۵۷۸ | ۵۷/۹۷ | ۲۱۳۲ | ۸۹۶ | ۶۸۲ | ۱۲۲۶ | BPNN | |
| ۱۴۸۸ | ۳۸/۱۳ | ۲۱۳۲ | ۱۳۱۹ | ۱۴۵ | ۸۱۳ | تابع سوم | |
| ۱۵۳۳ | ۷۳/۰۳ | ۲۸۱۱ | ۷۹۹ | ۷۸۹ | ۲۰۶۷ | خط. | بیمار دهم |
| ۱۲۵۸ | ۸۷/۰۳ | ۲۸۱۱ | ۳۹۹ | ۹۰۹ | ۲۴۶۲ | تابع دوم | |
| ۱۲۱۸ | ۹۲/۶۴ | ۲۸۱۱ | ۲۰۷ | ۱۰۱۱ | ۲۶۰۴ | تابع اوا | |
| ۱۲۹۷ | ۸۲/۷۵ | ۲۸۱۱ | ۴۸۰ | ۸۱۲ | ۲۳۲۶ | BPNN | |
| ۱۳۸۲ | ۸۱/۰۴ | ۲۸۱۱ | ۵۱۹ | ۸۶۳ | ۲۲۹۲ | تابع سوم | |

جدول ۶: نمونه‌هایی از مقادیر دقت بخشنده در جدا سازی بافت‌های غیر عادی از یکدیگر. الف- نرخ پذیرش صحیح. ب- نرخ پذیرش نادرست پیکسلهای بافت‌های غیر عادی دیگر در بخشنده بافت مورد نظر.

| بیمار دهم | | | بیمار ششم | | | بیمار پنجم | | بیمار دوم | | بیمار اول | | | | | | شماره بافت |
|-----------|------|------|-----------|-----|------|------------|------|-----------|------|-----------|-----|-----|------|------|------------|--------------|
| L۳ | L۲ | L۱ | L۳ | L۲ | L۱ | L۲ | L۱ | L۲ | L۱ | L۵ | L۴ | L۳ | L۲ | L۱ | نام روش | |
| ۱۶۸ | ۱۰۷۰ | ۱۵۷۳ | ۲۸۵ | ۷۲۹ | ۴۱۰۱ | ۶۱۶ | ۱۵۰۲ | ۹۸۱ | ۲۸۵۹ | ۶۱ | ۲۷۴ | ۳۵۹ | ۱۰۴۵ | ۲۶۵۹ | آزاده بافت | شماره بافت |
| ۱۵۷ | ۱۰۶۲ | ۵۴۸ | . | . | ۲۲۵۹ | . | ۱۳۳۲ | ۳۸۵ | . | . | . | ۳۰۰ | . | ۱۶۷۸ | آ | خطی |
| ۲۰ | ۲۷۸ | ۱ | . | . | ۳۰ | . | ۴۸۰ | ۲۲ | . | . | . | ۳۰۵ | . | ۲۰۶ | ب | تابع هدف دوم |
| ۱۵۴ | ۱۰۵۶ | ۱۱۷۲ | . | ۵۳۳ | ۳۸۱۲ | ۴۶۵ | ۱۱۱۱ | ۹۰۷ | ۲۵۹۹ | . | ۱۸۴ | ۳۲۹ | ۸۴۲ | ۲۱۰۵ | آ | تابع هدف اول |
| ۲۹ | ۳۶ | ۱۴ | . | ۹۴ | ۳۸۹ | ۵ | ۵۳ | ۱۰۰ | ۱۵ | . | ۲۳ | ۲۴ | ۳۲۲ | ۲۲۹ | ب | BPNN |
| ۱۵۰ | ۱۰۵۷ | ۱۳۰۸ | . | ۴۸۱ | ۳۶۲۲ | ۵۷۲ | ۱۲۵۷ | ۷۱۵ | ۲۶۸۷ | . | ۱۸۵ | ۲۶۶ | . | ۲۱۶۸ | آ | تابع هدف سوم |
| ۲۰ | ۴۵ | ۲۴ | . | ۱۸۰ | ۱۶۶ | ۲۴ | ۲۶ | ۲۰ | ۱۸۱ | . | ۱۳۹ | ۱۱ | . | ۹۱۱ | ب | BPNN |
| . | ۱۰۵۹ | ۱۲۱۵ | . | . | ۳۹۹۴ | . | . | . | ۵۴۶ | . | . | . | . | ۲۵۳۹ | آ | تابع هدف سوم |
| . | ۴۱ | ۱۱ | . | . | ۴۶۱ | . | . | . | . | . | . | . | . | ۱۶۸۳ | ب | BPNN |
| . | ۱۰۵۸ | ۱۱۵۵ | . | . | ۳۲۲۹ | ۵۴۴ | ۶۱۲ | ۶۷۸ | . | . | . | ۲۹۷ | . | ۲۳۷۲ | آ | تابع هدف سوم |
| . | ۶۴ | ۱۵ | . | . | ۹۷۱ | ۷۱ | ۲۹ | ۲۲ | . | . | . | ۲۸۹ | . | ۱۰۸۹ | ب | تابع هدف سوم |

لحاظ کمی و کیفی مقایسه شدند. از بخشنده حاصل از بکارگیری تصویر پرسپکتیو هیستوگرام سه بعدی داده‌ها در فضای خروجی تبدیل برای مقایسه کمی استفاده گردید. برای تصاویر شبیه‌سازی به لحاظ کمی مشخص گردید که عملکرد روش‌های پیشنهادی بر مبنای توابع هدف اول و دوم، پایین‌ترین میزان خطأ در بخشنده را ارایه می‌کنند. بعلاوه، این روشها کمترین حساسیت را نسبت به آغازسازی‌های متفاوت پارامترهای شبکه نشان می‌دهد. به لحاظ کیفی نیز فضای استخراج شده توسط این روشها به نحو مناسبتری خوش‌های بافت‌های غیر عادی را از یکدیگر و از بافت‌های عادی متمایز می‌سازد. نتایج بخشنده تصاویر بیماران واقعی نیز بیانگر ارایه تفکیک بهتری از بافت‌ها در نتایج بخشنده بدست آمده از روش‌های تابع هدف اول و تابع هدف دوم می‌باشد.

بر مبنای نتایج جدول (۶) نیز تقریباً همواره روش‌های توابع هدف اول و دوم نسبت به سایرین در صدر قرار دارند. در مورد بیمار ششم تمام روشها تا حدی ضعیفتر ظاهر شده‌اند. این ممکن است به جهت کوچک بودن بافت‌های غیر عادی در تصاویر MR این بیمار باشد که در نتیجه آن در تصویر هیستوگرام کنتراست کمی دارند و به عنوان یک خوش‌های متمایز قابل تشخیص نیستند.

نتیجه گیری

سه روش بر مبنای شبکه عصبی پیش خورد غیر خطی برای اجرای یک تبدیل کاوهنده بعد داده‌های تصاویر MR مغز مطرح شد. این روشها به جهت بهره‌گیری از الگوریتم ذهنی برای تنظیم پارامترهای شبکه به زمان اجرای زیادی نیاز دارند. نتایج حاصل بکارگیری روش‌های پیشنهادی با دو روش تبدیل خطی بهینه و BPNN به

مراجع

- 1 - Soltanian-Zadeh, H. et al. (1996). "Optimal linear transformation for MRI feature extraction." *IEEE Trans. Med. Imag.*, Vol. 15, No. 6, PP. 749-767.
- 2 - زارع بنداد آبادی ، س. "تبدیل خطی بهینه برای کاهش بعد فضای ویژگی حاصل از تصاویر MRI مغز انسان." پایان نامه کارشناسی ارشد ، دانشکده فنی دانشگاه تهران ، (۱۳۷۷).
- 3 - خراط ، م. "تبدیل غیر خطی بهینه برای کاهش بعد فضای ویژگی حاصل از تصاویر MR مغز انسان." پایان نامه کارشناسی ارشد ، دانشگاه فنی دانشگاه تهران ، (۱۳۷۷).
- 4 - Mao, J. C. and Jain, A. K. (1995). "Artificial neural networks for feature extraction and multivariate data projection." *IEEE Trans. Neural Networks*, Vol. 6, No. 2, PP. 296-317.

-
- 5 - Öten, R. and de Figueiredo, R. J. P. (1998). "Topological dimensionality determination and dimensionality reduction based on minimal spanning trees." *Proceedings of the 1998 IEEE ISCAS*, Monterey, California, Vol. 3, PP. 366-369.
- 6 - Hall, L. O. et al. (1992). "A comparison of neural network and fuzzy clustering techniques in segmenting magnetic resonance images of the brain." *IEEE Trans. Neural Networks*, Vol. 3, No. 5, PP. 672-681.
- 7 - Xin Yao. (1997). "Global optimization by evolutionary algorithms." In *Proc. 2nd. Int. Symp. on Parallel Algorithms/Architecture Synthesis*, Aizu-Wakamatsu, Japan, PP. 282-291.

واژه های انگلیسی به ترتیب استفاده در متن

- 1 – MST = Minimal Spanning Tree
2 – Inconsistency Measure
3 – Most Inconsistent Edge
4 – Partial-Volume
5 – Projection